

بررسی شار رطوبت از دریاهای مجاور در دوره‌های مرطوب و خشک فصل زمستان نیمه جنوبی کشور

فرناز پورا صغر^{*}، هوشنگ قائمی^۲، سعید جهانبخش^۳، بهروز ساری صراف^۴

۱- دکتری اقیم‌شناسی، اداره کل و مرکز تحقیقات هواشناسی کاربردی استان آذربایجان شرقی، تبریز

۲- استاد، سازمان هواشناسی کشور

۳ و ۴- استاد، گروه جغرافیای طبیعی، دانشکده علوم انسانی، دانشگاه تبریز

تاریخ پذیرش مقاله: ۹۲/۱/۲۹ تاریخ وصول مقاله: ۹۱/۲/۲۳

چکیده

در این پژوهش، نقش منابع آبی مجاور روی بارش فصل زمستان نیمه جنوبی کشور با استفاده از داده‌های ماهانه بارش ۱۸۳ ایستگاه سینوپتیک، اقلیمی و باران سنجی سازمان هواشناسی کشور و سازمان آب برای دوره ۱۹۷۴-۲۰۰۵ مورد بررسی قرار گرفت. توزیع مکانی نابهنجاری بارش برای ماههای دسامبر، آنبویه و فوریه با استفاده از روش تابع متعماد تجربی EOF شناسایی شده و مؤلفه‌های اول و دوم که بیش از ۶۶ درصد واریانس بارش را تعیین می‌کنند برای مطالعه تعیین شدند. برای شناسایی الگوهای همدیدی و دینامیکی رژیم بارش هر مقطعه نقشه‌های ترکیبی نابهنجاری دمای سطح آب، شار رطوبت و فشار سطح دریا برای دوره‌های مرطوب و خشک محاسبه و ترسیم شد. الگوی نابهنجاری دمای سطح آب پهنه‌های آبی نیمه جنوبی کشور در دوره مرطوب و خشک نشان داد که تغییرات دمای سطح آب نقش مهمی در نوسانات بارش دارد به طوری که نابهنجاری دمای سطح آب برای مؤلفه‌های اول EOF که بیش از ۵۰ درصد واریانس کل بارش را در نیمه جنوبی کشور تعیین می‌کند در دوره مرطوب (خشک) مثبت (منفی) است از آنجاییکه گردش جو حاکم در منطقه نقش مهمی در انتقال رطوبت به جنوب ایران دارد در دوره مرطوب رطوبت از دریای عرب، دریای سرخ و خلیج عدن به جنوب ایران منتقل می‌شود و در دوره خشک از جنوب ایران خارج می‌گردد. نابهنجاری دمای سطح آب دریای عرب برای مددوم EOF مشیت می‌باشد اما تغییرات دمایی در دوره خشک برجسته نیست. جایه جایی پرسنار عربستان به سمت راست (چپ) در دوره‌های مرطوب (خشک) رطوبت بیشتری را از دریای عرب به نواحی جنوبی - شرقی (غربی) کشور انتقال می‌دهد.

واژگان کلیدی: بارندگی، شار رطوبت، جنوب ایران.

مقدمه

یکی از عوامل مهم که در آب و هوای یک منطقه اثر می گذارد، توزیع خشکی ها و دریاهاست. هر نوع تغییری در موقعیت خشکیها و دریاهای نسبت به یکدیگر سبب تغییراتی در آب و هوای منطقه می شود (قائمی، ۱۳۷۳). حجم وسیعی از آب های کره زمین در دریاهای و اقیانوس ها متمرکز شده است. اقیانوس ها یکی از مولفه های اساسی در سامانه اقیانومی محسوب می گردد. این منابع آبی مقادیر زیادی از گرما، آب، گازها، ذرات آئروسل و تکانه^۱ را با آتمسفر مبادله می کنند و نقش مهمی در توزیع گرمای جهان از مناطق حاره به مناطق قطبی از طریق جریانات اقیانوسی و گردش های بزرگ مقیاس جوی دارند و بدین ترتیب سیاره را قابل سکونت می کنند (Bigg et al., 2003). در سالهای اخیر بررسی برهم کنش بین عوامل آب و هوایی در خشکی، اقیانوس و جو مورد توجه بسیاری از دانشمندان علوم هواشناسی و اقلیم شناسی قرار گرفته است. نتایج پژوهش های زیادی نشان داده اند که تغییرات دما در سطح گستره های بزرگ آبی می توانند تأثیر معنی داری بر نوسان های بارش در سطح خشکی های زمین داشته باشد. روشن شده است که تأثیر دمای سطح آب بر مقدار بارش محدود به نقاط ساحلی نبوده بلکه نواحی بسیار دور از دریا نیز می توانند تحت تأثیر تغییرات الگوهای دمای سطح گستره های آبی قرار گیرند (ناظم السادات و قاسمی، ۱۳۸۳). نتایج تحقیق روکا و همکاران (Rocha et al., 1997) برای بارش تابستان جنوب شرقی آفریقا توسط مدل گردش عمومی GCM^۲ و با در نظر گرفتن تأثیر الگوهای نابهنجاری دمای سطح آب اقیانوس ها نشان داد که نابهنجاری مثبت دمای سطح آب در منطقه حاره اقیانوس آرام (معرف پدیده انسو^۳) و مرکز اقیانوس هند شرایط خشکسالی را در آفریقای جنوبی - شرقی ایجاد می کند. دمای سطح آب در اقیانوس اطلس اثر کمی روی بارش دارد. این تحقیق نشان داد که الگوهای نابهنجاری دمای سطح آب که قبل از فصل بارش گسترش یافته و در طول تابستان باقی میمانند، می توانند شرایط خشکسالی را روی آفریقای جنوب شرقی

ایجاد کنند. لطیف و همکاران (Latif et al., 1999) نقش نابهنجاری دمای سطح آب اقیانوس هند را در ایجاد نابهنجاری بارش شرق آفریقا در ماههای دسامبر و ژانویه ۱۹۹۷-۹۸ توسط مدل ECHAM3 مورد بررسی قرار دادند. نتایج نشان داد که بارش های شدید شرق آفریقا در فصل پائیز مستقیماً به تغییرات دمای سطح آب اقیانوس هند ارتباط دارد.

تسچوک و همکاران (Tschuck et al., 2004) اثر نابهنجاری دمای سطح آب در غرب اقیانوس آرام و هند حاره ای را روی بارش مونسون تابستانی توسط سه مدل UGAMP، ECHAM و ARPGE^۴ مورد بررسی کردند. نتایج نشان داد که نابهنجاری مثبت دمای سطح آب در غرب اقیانوس آرام سبب حداکثر همرفت حراره ای و شروع زود هنگام مونسون می شود و همچنین نابهنجاری دمای سطح آب اقیانوس هند روی شدت مونسون تأثیر می گذارد. با توجه به آزمایشات مدل ECHAM بنگال نابهنجاری های مثبتی به اندازه 40°K را تجربه می کند سبب افزایش بارش هند می شود. مطالعه شار رطوبتی عربستان توسط چاکرا بورتی و همکاران (Chakraborty et al., 2006) نشان داد که گرچه مقدار حجم آب قابل بارش در وردسپهر میانی بالاست ولی بارش در این منطقه نیمه خشک در طول فصل مونسون تابستان نیمکره شمالی بدليل واگرایی شدید شار رطوبتی کمتر از مقدار قابل انتظار است. شار رطوبتی تروپوسفر در مناطق خشک و نیمه خشک عربستان تغییرات بین سالی را نشان می دهد. به طوری که انتقال شار رطوبتی در زمان رویداد ال نینو و فاز مثبت دو قطبی اقیانوس سرخ در منطقه از دریای سرخ و غرب عربستان (سواحل دریای سرخ) افزایش و شار رطوبتی منطقه به دلیل افزایش شار خروجی از خلیج فارس (شرق عربستان) کاهش می یابد. نتایج مدل های تجربی نشان می دهد که شار رطوبتی در زمان النینو یا رویداد همزمان فاز مثبت دوقطبی اقیانوس هند و النینو نسبت به رخداد مستقل دو قطبی اقیانوس هند

نحوه انتقال رطوبت در سامانه‌های بارش‌زای ایران و شناسایی منابع تأمین رطوبت بارش‌های ایران پرداخت. نتایج نشان داد که منابع تأمین رطوبت بارش‌های ایران با توجه به زمان و مکان متغروند. بر همین اساس ترکیب دریاهای مدیترانه و عرب قسمت اعظم رطوبت بارش‌های مناطق شمال غربی و جنوب غربی را فراهم می‌سازد. همچنین بررسی‌ها نشان داد که دریای عرب به تهایی بارش نواحی جنوب و جنوب شرق کشور را تأمین می‌نماید. بیشترین رطوبت بارش‌های سواحل جنوبی خزر نیز از ترکیب دریاهای مدیترانه، خزر و عرب فراهم می‌شود. بررسی فصلی منابع تأمین رطوبت بارش‌های ایران نشان داد که در فصول پاییز، بهار و زمستان دریاهای مدیترانه و عرب و در فصل تابستان دریاهای خزر، مدیترانه و سیاه بیشترین رطوبت را به ایران انتقال می‌دهند. فرج زاده و همکاران (۲۰۰۷) در مطالعه خود روی بارش‌های سنگین ۷ روز ژانویه سال ۱۹۹۶ نشان دادند که منابع رطوبت اصلی برای بارش‌های غرب ایران دریای عرب و عمان در ترازهای پایین می‌باشد. دریای سرخ در ترازهای میانی و دریای مدیترانه در ترازهای بالا از نظر تأمین رطوبت نقش غالب را در بارش دارا می‌باشند. همچنین بررسی آنها نشان داد که بخش عمده رطوبت در سطوح پایین جو به کشور منتقل می‌شود. همچنین انتقال رطوبت به سوی ایران بیش از همه متأثر از جریانات هوای مرطوب منشأ یافته از سامانه‌های فشار مسلط در ترازهای پایین جو می‌باشد. قاسمی و خلیلی (۲۰۰۸) رابطه بین الگوی گردش جوی منطقه با الگوی بارش فصل زمستان ایران را مورد بررسی قرار دادند. در این تحقیق از روش تحلیل مؤلفه‌های اصلی، همبستگی و تحلیل نقشه‌های سینوپتیک دوره‌های خشک و مرطوب استفاده شده است. دو شاخص الگوی خزر شمالی و نوسان مدیترانه غربی دو شاخصی هستند که بیشترین معنی داری را به مؤلفه‌های اصلی بارش ایران دارند. بایانیان (۱۳۹۰) به منظور بررسی و شناخت ارتباط بین دمای سطح آبی منطقه با بارش‌های فصلی ایران و سنجش میزان حساسیت بارش فصلی کشور به افزایش دمای پهنه‌های آبی از روش تحلیل عاملی و مدل اقلیمی RegCM3 استفاده کرد. نتایج تحلیل ارتباط دمای سطح پهنه‌های آبی و بارش فصلی کشور ۱۰

بیشتر تقویت می‌شود. نظام السادات و قاسمی (۱۳۸۲) میزان تأثیر پدیده نوسان‌های جنوبی بر بارندگی شش ماهه فصل سرد استان‌های اصفهان، فارس، خوزستان، چهارمحال و بختیاری، بوشهر و کهگیلویه و بویراحمد (۲۲ ایستگاه) را ارزیابی کردند. نتایج نشان داد که وقوع لانینا موجب کاهش ۵۰ تا ۵۰ درصدی بارندگی در استان‌های بوشهر، کهگیلویه و بویراحمد و جنوب فارس می‌شود. در دیگر استان‌های مورد بررسی، این پدیده تغییر چندانی در بارندگی شش ماهه سرد سال ایجاد نمی‌کند. برخلاف لانینا، وقوع ال نینو موجب افزایش ۷۰ تا ۷۰ درصدی بارندگی در بیشتر ایستگاه‌ها می‌شود که مقدار این افزایش به موقعیت جغرافیایی ایستگاه‌ها بستگی دارد. در حالی که بیشتر تر سالی‌های شدید در منطقه مورد بررسی در شرایط ال نینو بوده و احتمال وقوع خشکسالی شدید در این حالت در اکثر ایستگاه‌ها صفر تا ۲۵ درصد می‌باشد. هم چنین، درصد وقوع خشکسالی شدید در شرایط لانینا در استان خوزستان و نواحی جنوبی استان فارس به ۵۰٪ افزایش می‌یابد. نظام السادات و شیروانی (۱۳۸۵) داده‌های بارش ۹ ایستگاه سینوپتیک نواحی جنوب غربی کشور و نیز داده‌های دمای سطح آب خلیج فارس برای دوره‌های ۱۹۵۹–۹۳ را مورد مطالعه قرار دادند. به منظور کاهش حجم داده‌ها و استخراج مؤلفه‌های اصلی، تحلیل توابع متعامد تجربی (EOF) انجام گرفت که دو مؤلفه اصلی بارندگی و چهار مؤلفه دمای سطح آب انتخاب گردید. مؤلفه‌های اصلی بارش و دمای سطح دریا به ترتیب ۷۸٪ و ۷۳٪ از کل واریانس داده‌های مشاهده شده را توجیه نمودند. نتایج تحقیق نشان داد که نوسان‌های دمای سطح آب در ناحیه مرکزی خلیج فارس، در مقابل سواحل بوشهر نقش مؤثری در توجیه نوسان‌های بارش ایستگاه‌های مورد مطالعه دارند. چهار مؤلفه اصلی دمای سطح دریا در مجموع حدود ۲۷٪ از کل واریانس بارش زمستانه در مناطق مورد مطالعه را تعریف می‌نمایند. در استان‌های فارس و بوشهر تأثیر دمای سطح دریا در فصل زمستان بر بارش، بیشتر از استان خوزستان تشخیص داده شد. فرآیند تغییرات دمای سطح دریا در فصول بهار و تابستان یکی از عناصر قابل توجه در پیش‌بینی بارش زمستانه خوزستان تعیین گردید. کریمی (۱۳۸۶) بررسی

بلکه در سراسر کشور رخدادهایی هستند که در ایجاد رکود اقتصادی، کشاورزی و دامپوری نقش اساسی دارند. در طی چند سال اخیر پدیده خشکسالی با خوش آرام ولی با تحمیل اثرات عمیق و مخرب گونه خود باعث از هم پاشیدن سیستم‌های اکولوژیکی، بیولوژیکی و اقتصادی بومی در سراسر سرزمین ایران و به ویژه در جنوب و شرق کشور شده است (نجار سلیقه، ۱۳۸۵ و کوثری و اسدی، ۲۰۱۱). شناخت عوامل مؤثر در ایجاد این تغییر پذیری نقش قابل ملاحظه‌ای در پیش‌بینی‌ها و برنامه‌ریزی‌های دقیق محیطی و اقتصادی دارد. با توجه به اینکه اکثر بارندگی‌ها در نیمه جنوبی ایران در فصل زمستان به وقوع می‌پیوندد و از آنجایی که پهنه‌های آبی مجاور جنوب کشور به عنوان وسیع ترین منابع رطوبتی نقش مهمی در تغییرات بارندگی این منطقه دارند. از این‌رو بررسی شار رطوبتی در دوره‌های خشک و مرطوب برای استفاده در پیش‌بینی‌های هواشناسی و مدیریت منابع آب در منطقه ضروری به نظر می‌رسد.

مواد و روش‌ها

پهنه‌های آبی مجاور جنوبی کشور بیشترین تأثیر را روی بارش‌های نیمه جنوبی کشور دارند. لذا در این مطالعه استان‌های ایلام، خوزستان، لرستان، چهارمحال و بختیاری، کهگیلویه و بویراحمد، بوشهر، اصفهان، یزد، کرمان، هرمزگان، فارس و سیستان و بلوچستان به عنوان محدوده نیمه جنوبی کشور در نظر گرفته شده‌اند. در این پژوهش به منظور بررسی بارش در ایستگاه‌های جنوبی کشور از اطلاعات ایستگاه‌های سینوپتیکی، اقلیم‌شناسی و باران‌سنگی سازمان هواشناسی و سازمان تحقیقات منابع آب ایران (تمام) برای دوره آماری ۱۹۷۴ الی ۲۰۰۵ استفاده گردید. خلاصه‌های موجود در بعضی از ایستگاه‌ها توسط ایستگاه‌های مجاور بازسازی شده و با استفاده از آزمون تست همگنی (Run test) همگنی داده‌ها مورد بررسی قرار گرفت. بعضی از ایستگاه‌ها به علت کیفیت پایین داده‌ها و نیز داشتن داده‌های گم شده زیاد حذف شدند و تعداد ۱۸۳ ایستگاه برای این تحقیق انتخاب گردید (جزایر مورد بررسی قرار

عامل را نشان داد که حداقل ۹۰ درصد از واریانس داده‌های اولیه را توضیح می‌دهد. بر این اساس غرب اقیانوس هند، در مجاورت سواحل سومالی، سواحل جنوب هند، شرق مدیترانه- دریای سیاه و شمال دریای عرب کانون‌های تغییر تعیین شدند. بررسی فصلی کانون‌های تغییر نشان داد که در تمامی فصول، غرب اقیانوس هند و دریای مدیترانه مهمترین کانون‌های تغییر دما هستند که بیشترین درصد واریانس را در هر فصل تبیین می‌کنند. نتایج بررسی خروجی‌های مدل RegCM3 نشان داد که حساسیت بارش‌های ایران در فصل زمستان به دمای سطح پهنه‌های آبی مجاور کشور است. به طوری که افزایش دمای پهنه‌های آبی مجاور کشور عمدتاً موجب افزایش بارش شده اما افزایش دمای پهنه‌های آبی دریای مدیترانه، دریای سیاه و غرب اقیانوس هند که کمی دوردست‌تر قرار گرفته‌اند موجب کاهش بارش ایران می‌شوند. همچنین افزایش دما موجب افزایش ناهمگنی بارش و حذف هسته‌های پر بارش در جنوب کشور می‌شود.

رضیی و همکاران (۲۰۱۱) رابطه بین انواع گردش جوی و رژیم بارش روزانه ایران را مورد بررسی قرار دادند. تغییرپذیری مدهای مکانی بارش روزانه با روش تحلیل مولفه اصلی و چرخش واریماکس^۱ برای بازه زمانی ۲۰۰۴-۱۹۶۱، ۵ منطقه در فصول پاییز و زمستان و ۴ منطقه در فصل بهار شناسایی نمود. نتایج تحقیق آنها نشان می‌دهد که توزیع مکانی بارش ایران به طور وسیع بوسیله موقعیت جغرافیایی ناوه وردسپهر میانی روی خاورمیانه و واخرخند تروی عربستان کنترل می‌شود. در حقیقت در همه طبقه بندهای رژیم بارش، توزیع مکانی بارش بر روی ایران توسط ناوه شرق مدیترانه که یک عامل اولیه برای حرکت صعودی در منطقه می‌باشد و واخرخند عربستان که سبب انتقال رطوبت از پیکره‌های آبی جنوبی از طریق لا یه پایین وردسپهر می‌باشد ایجاد می‌گردد. با توجه به قرار گرفتن کشور ایران در ناحیه آب و هوایی خشک و نیمه خشک جهان، تغییرات بارندگی و قوع خشکی و خشکسالی از ویژگی‌های اجتناب ناپذیر و زیانبار اقلیمی آن محسوب می‌شود. سیل‌های ویرانگر و نیز خشکسالی‌های بی در پی و طولانی نه تنها در قسمت‌های مختلف استان‌های جنوبی

1. Varimax

که g شتاب گرانش، q نم ویژه می‌باشد. P_{surf} فشار در ۱۰۰۰ میلی باری و P_{top} فشار در ۳۰۰ میلی باری می‌باشد. به طور مشابه، شار رطوبتی به صورت زیر محاسبه می‌شود.

$$Q = \frac{1}{g} \int_{P_{top}}^{P_{surf}} qV dp = \frac{1}{g} \int_{P_{top}}^{P_{surf}} qV dp + \frac{1}{g} \int_{P_{top}}^{P_{surf}} q'V' dp \quad (2)$$

$$V = \hat{u}\hat{i} + \hat{v}\hat{j} \quad (3)$$

که بردار باد به صورت می‌باشد. که به ترتیب جمله اول مد پایا^۷ و مد دوم مد گذران^۸ را نشان می‌دهد. انتقال مداری و نصف النهاری شار رطوبت به صورت زیر محاسبه می‌شود.

$$Q_\lambda = \frac{1}{g} \int_{P_{top}}^{P_{surf}} qudp = \frac{1}{g} \int_{P_{top}}^{P_{surf}} qudp + \frac{1}{g} \int_{P_{top}}^{P_{surf}} q'u'dp \quad (4)$$

$$Q_\phi = \frac{1}{g} \int_{P_{top}}^{P_{surf}} qvdp = \frac{1}{g} \int_{P_{top}}^{P_{surf}} qvdp + \frac{1}{g} \int_{P_{top}}^{P_{surf}} q'v'dp \quad (5)$$

با توجه به اینکه جهت جریانات یا به طور کلی چگونگی گردش هوا در ترازهای مختلف ممکن است با یکدیگر متفاوت باشد و همچنین میزان بخار آب موجود در جو در ترازهای پایین بسیار بیشتر از ترازهای میانی و بالای وردسپهر است بنابراین شار رطوبتی در ۳ لایه ترازهای پایین ۷۰۰، ۱۰۰۰-۵۰۰ و لایه فوقانی ۳۰۰-۵۰۰ هکتوپاسکال به ترتیب با استفاده از روابط زیر محاسبه می‌گردد.

$$Q_\lambda = \frac{1}{g} \int_{1000}^{700} qudp + \frac{1}{g} \int_{700}^{500} qudp + \frac{1}{g} \int_{500}^{300} qudp = \frac{1}{g} \int_{1000}^{300} qudp \quad (6)$$

$$Q_\phi = \frac{1}{g} \int_{1000}^{700} qvdp + \frac{1}{g} \int_{700}^{500} qvdp + \frac{1}{g} \int_{500}^{300} qvdp = \frac{1}{g} \int_{1000}^{300} qvdp \quad (7)$$

نقشه نابهنجاری^۹ دمای سطح آب، شار رطوبتی و فشار سطح دریا برای دوره‌های مرطوب و خشک برای ماههای دسامبر، زانویه و فوریه ترسیم گردید.

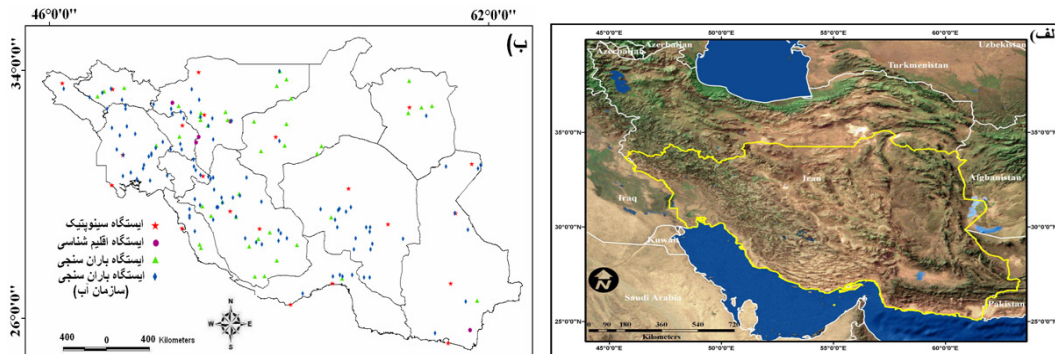
نگرفتند) شکل (۱). داده‌های دمای سطح آب از داده‌های ماهانه تولید شده بوسیله مرکز هدایت سازمان هواشناسی انگلیس^{۱۰} HadISST با قدرت تفکیک مکانی ۱ درجه طول و عرض جغرافیایی و داده‌های جوی بازوگاوی شده NCEP-NCAR^{۱۱} با تفکیک مکانی ۲/۵ درجه طول و عرض جغرافیایی برای مطالعه دمای سطح آب دریاها و شرایط جوی در ترازهای مختلف استفاده می‌گردد (Rayner et al., 2003, Kalnay et al., 1996).

مطالعه رژیم بارش در نیمه جنوبی کشور نشان داد که مقدار بارش در ماههای زوئن، زوئیه، اوت و سپتامبر ناچیز بوده و بارش سالانه این منطقه در ماههای اکتبر تا مه رخ می‌دهد که بیشترین مقدار آن در ماههای دسامبر، زانویه و فوریه است. لذا برای بررسی تغییرات زمانی- مکانی بارش و ناحیه بندی بارش سه ماه فصل زمستان در نیمه جنوبی کشور از روش تابع معتمد تجربی^{۱۲} EOF که بطور گسترده در پژوهش‌های اقلیمی و اقیانوسی بکار برده می‌شود استفاده گردید (ناظم السادات و همکاران، ۱۳۸۵، Brjornsson & Venegas, 1997, ۱۳۸۸ Rodriguez et al., 1998, Pritchard & Somerville, 2009) نتایج تحلیل‌های EOF بر روی داده‌های نابهنجاری بارش ۱۸۳ ایستگاه برای ماههای دسامبر، زانویه و فوریه چندین مد تغییرات را نشان می‌دهد که هر مد می‌تواند با چندین مکانیزم تغییرات همراه باشد. برای مطالعه دوره‌های مرطوب و خشک، سال‌های مرطوب و خشک تعیین شدند. سال‌های مرطوب (خشک) به سال‌هایی اطلاقی می‌گردد که مولفه‌های اصلی^{۱۳} (PC) مدهای EOF برای هر ماه بالاتر از ۰/۸ (پایین تر از ۰/۸) انحراف معیار در هر ماه باشند. همچنین برای بررسی منابع رطوبت و شارش رطوبت از روش دینامیکی استفاده شد. بنا به تعریف آب قابل بارش عبارتست از مجموع جرم بخار آب موجود در جو در یک محل خاص از سطح زمین تا پایان جو می‌باشد (Tsing Chang, 1985).

$$PWC = \frac{1}{g} \int_{P_{top}}^{P_{surf}} qdP \quad (1)$$

1. Hadley center Sea Ice and Sea Surface Temperature data set
3. National Center for Atmospheric Research
5. Principle Component
8. Transient Mode

2. National Center for Environmental Prediction
4. Empirical Orthogonal Function
6. Stationary Mode
8. Composite Map



شکل ۱- (الف) محدوده مورد مطالعه به همراه توپوگرافی منطقه (ب) موقعیت ایستگاه های مورد استفاده در تحقیق حاضر

سری زمانی ۱۸۳ ایستگاه، در هر ماه پنج مؤلفه اصلی بارش استخراج گردید. جدول ۱ به ترتیب درصد واریانس پنج مؤلفه اصلی از کل واریانس بارش در هر ماه را نشان می دهد.

به منظور شناسایی رژیم بارش فصل زمستان در نیمه جنوبی ایران، بارش ماهانه طی بازه زمانی ۱۹۷۴ تا ۲۰۰۵ برای ماههای دسامبر تا فوریه مورد مطالعه قرار گرفت. با انجام روش توابع متعماد تجربی بر روی داده های بارش

نتایج و بحث

جدول ۱- واریانس (%) مؤلفه های اصلی مد اول تا پنجم EOF برای ماه های دسامبر تا فوریه

ماه	EOF1	EOF2	EOF3	EOF4	EOF5	درصد واریانس مؤلفه های اصلی
دسامبر	۵۴/۶	۲۱/۹	۴/۵	۳/۵	۲/۶	۸۷/۱
ژانویه	۵۴/۹	۱۱/۰	۹/۳	۲/۹	۲/۸	۸۰/۹
فوریه	۶۵/۸	۸/۴	۷/۰	۳/۷	۲/۵	۸۷/۴

و بویراحمد، خوزستان، بوشهر و فارس) نشان می دهد. همانطور که مشاهده می شود ساختار بارش بر روی زاگرس با ساختار بارش در دیگر قلمرو بررسی شده متفاوت است به عبارتی ناهمواری ها نقش مهمی در توزیع نابهنجاری بارش دارد. مؤلفه دوم EOF در ماه دسامبر و ژانویه به ترتیب ۲۱/۹ و ۱۱ درصد واریانس کل بارش را توصیف می نماید که بیشترین نابهنجاری بارش نواحی جنوبی کشور (جنوب بوشهر، فارس، هرمزگان و کرمان) می باشد. در ماه فوریه، مؤلفه دوم EOF این مد ۸/۴ درصد واریانس کل بارش را توصیف می کند که بیشترین نابهنجاری بارش مربوط به استان های فارس و بوشهر می باشد. بیشترین نابهنجاری بارش در این مناطق بیانگر مسیر ورود سامانه های جنوبی می باشد که از مسیر خلیج فارس وارد ایران می شوند. با مطالعه سری زمانی مؤلفه اصلی (PC) سال های خشک و

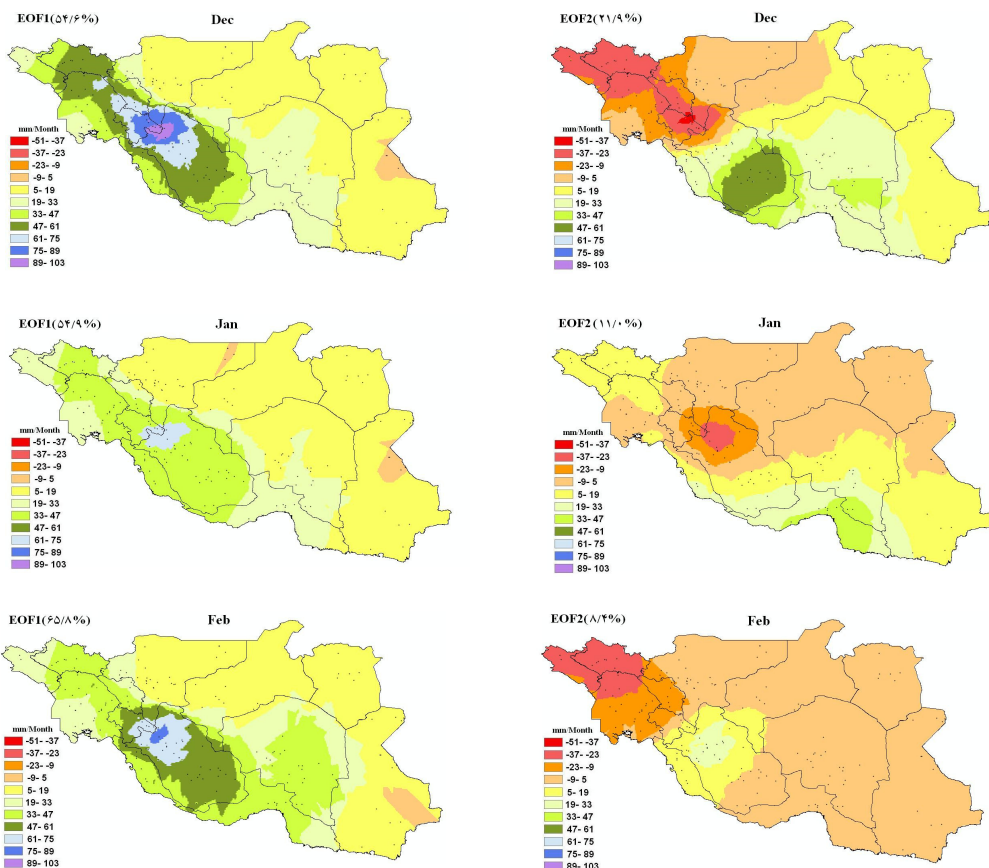
همانطور که نتایج جدول ۱ نشان می دهد مؤلفه های اول و دوم ماههای دسامبر تا فوریه مجموعاً به ترتیب ۷۶/۵، ۶۶/۹ و ۷۴/۲ بیش از ۶۵ درصد کل واریانس بارش ماهانه را بیان می کنند. لذا مؤلفه های اول و دوم EOF برای مطالعه انتخاب شدند. نتایج حاصل از تابع متعماد تجربی بر EOF داده های نابهنجاری بارش ماهانه ۱۸۳ ایستگاه امکان شناسایی مناطق با اقلیم های متفاوت را فراهم می سازد. شکل ۲ توزیع مکانی طبقه بندی شده بارش ماهانه مد اول و دوم ماههای دسامبر تا فوریه را که با روش کریجینگ میانیابی شدند نشان می دهد. همانطوری که از شکل ۲ مشاهده می شود مد اول EOF که بیش از ۵۰ درصد کل واریانس بارش در ماههای دسامبر تا فوریه بیان می کند، بیشترین نابهنجاری بارش را در نواحی غربی و جنوب غربی (استان های ایلام، لرستان، چهارمحال و بختیاری، کهگیلویه

ژئو پتانسیل و فشار سطح دریا بر اساس سال‌های خشک و مرطوب ترسیم شدند.

مرطب مولفه‌های اصلی مد اول و دوم برای ماه‌های دسامبر-فوریه شناسایی گردیدند (جدول ۲ و ۳). نقشه‌های ترکیبی نابهنجاری دمای سطح آب دریا، شار رطوبتی، ارتفاع

جدول ۲- سال‌های خشک و مرطب مولفه اصلی مد اول EOF در ماه‌های دسامبر-فوریه

سال‌های خشک	سال‌های مرطب	ماه
۱۹۸۱ و ۱۹۹۸ و ۱۹۹۰ و ۱۹۹۳ و ۱۹۹۶ و ۱۹۹۹	۱۹۷۴ و ۱۹۸۶ و ۱۹۹۱ و ۱۹۹۲ و ۲۰۰۱ و ۲۰۰۴	دسامبر
۱۹۸۴ و ۲۰۰۱ و ۱۹۸۹ و ۱۹۸۷ و ۱۹۸۵ و ۱۹۹۴	۱۹۷۶ و ۱۹۹۶ و ۱۹۹۱ و ۱۹۹۲ و ۲۰۰۴	ژانویه
۱۹۷۷ و ۲۰۰۰ و ۱۹۸۷ و ۱۹۹۴ و ۱۹۹۳ و ۱۹۸۴ و ۱۹۹۹	۱۹۷۶ و ۱۹۸۰ و ۱۹۹۳ و ۱۹۹۵ و ۱۹۸۸ و ۱۹۸۰ و ۱۹۹۹	فوریه



شکل ۲- توزیع فضایی نابهنجاری‌های بارش برای مد اول (چپ) و دوم (راست) EOF برای ماه‌های دسامبر تا فوریه

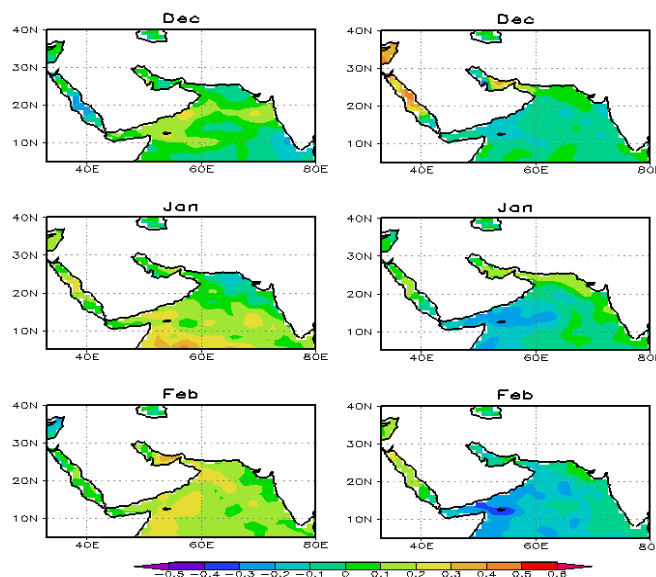
جدول ۳- سال‌های خشک و مرطب مولفه اصلی مد دوم EOF در ماه‌های دسامبر-فوریه

سال‌های خشک	سال‌های مرطب	ماه
۱۹۷۵ و ۱۹۸۷ و ۱۹۹۱	۱۹۸۶ و ۱۹۹۵ و ۲۰۰۴	دسامبر
۱۹۷۶ و ۱۹۷۸ و ۱۹۹۱ و ۱۹۹۵ و ۲۰۰۴	۱۹۷۵ و ۱۹۹۶ و ۱۹۹۷ و ۱۹۹۸ و ۱۹۹۹	ژانویه
۱۹۸۰ و ۱۹۹۳ و ۱۹۹۲ و ۱۹۸۶ و ۱۹۸۱ و ۱۹۹۶	۱۹۷۶ و ۱۹۷۷ و ۱۹۹۰ و ۱۹۹۵ و ۱۹۹۸	فوریه

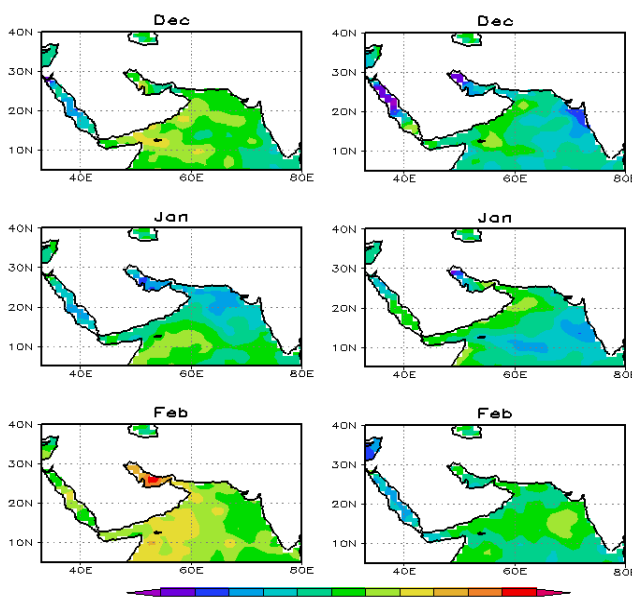
می دهد. همانطوری که از شکل مشاهده می شود نابهنجاری دمای سطح آب در دوره های خشک و مرطوب مؤلفه اول EOF در ماه های دسامبر، ژانویه و فوریه عکس هم می باشد به طوری که در دوره مرطوب در دریای عرب، خلیج عدن و غرب اقیانوس هند (شرق سومالی) نابهنجاری دما مثبت و در دوره خشک نابهنجاری منفی است. شکل ۴ نابهنجاری دمای سطح آب را برای مد دوم EOF نشان می دهد.

نقشه ترکیبی دمای سطح آب اقیانوس هند

ابتدا برای بررسی تغییرات نابهنجاری دمای سطح آب پهنه های جنوبی کشور، نقشه های ترکیبی دوره های خشک و مرطوب برای هر مؤلفه اصلی EOF (مد اول و دوم) تهیه گردیدند. نقشه های ترکیبی امکان مطالعه تغییرات در دوره های خشک و مرطوب را فراهم می آورد. شکل ۳ نقشه ترکیبی دمای سطح آب را در دوره خشک (سمت راست) و مرطوب (سمت چپ) ماه های دسامبر تا فوریه را نشان



شکل ۳- نقشه ترکیب نابهنجاری دمای سطح آب در دوره خشک (سمت راست) و مرطوب (سمت چپ) برای مد اول EOF



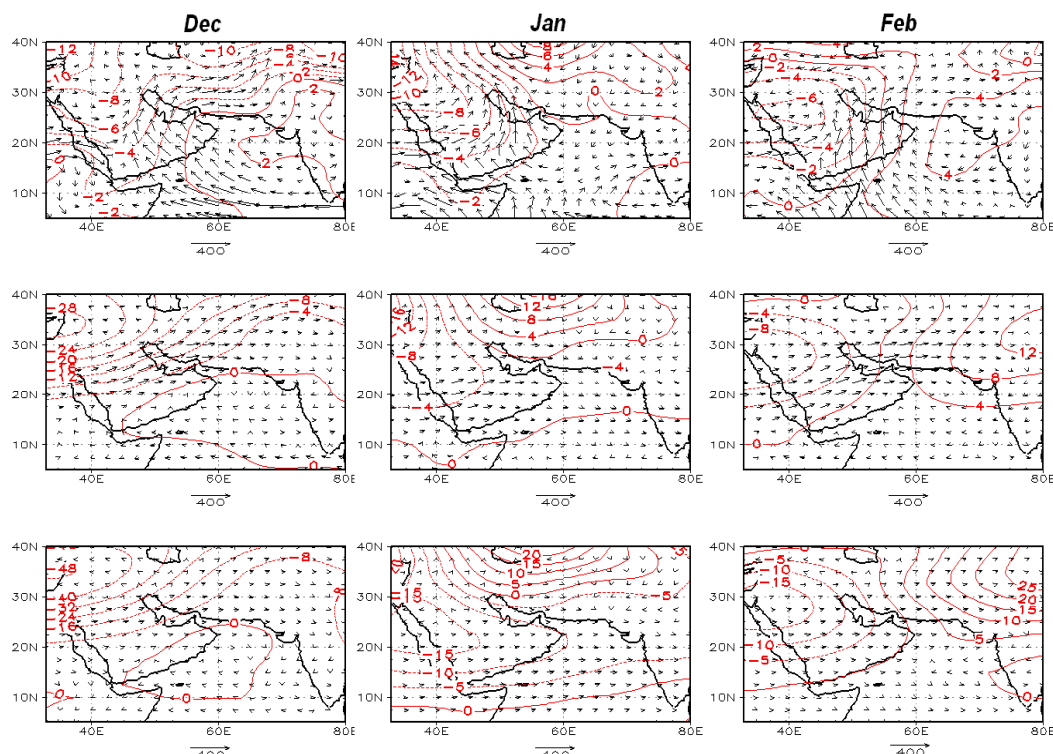
شکل ۴- نقشه ترکیب نابهنجاری دمای سطح آب در دوره خشک (سمت راست) و مرطوب (سمت چپ) برای مد دوم EOF

رطوبتی به مناطق مختلف توسط کردش جو است. مشخصات شار رطوبت برای لایه‌های مختلف جو به تفکیک هر ماه برای هر مولفه EOF در این بخش ارایه می‌گردد. شکل ۵ نقشه ترکیبی نابهنجاری شار رطوبت را برای دوره مرطوب ماههای دسامبر، ژانویه و فوریه برای ترازهای پایین (۱۰۰۰-۷۰۰)، میانی (۷۰۰-۵۰۰) و فوقانی (۵۰۰-۳۰۰) به همراه نابهنجاری ارتفاع ژئو پتانسیل تراز ۸۵۰ و ۴۰۰ هکتوپاسکال را برای مدل اول EOF نشان می‌دهد. در تراز پایین، نابهنجاری جنوب شرقی شار رطوبت با چرخشی واچرخند رطوبت را از دریای عرب، خلیج عدن به نواحی شرقی و شمالی شبه جزیره عربستان منتقل می‌نماید که با ادغام با نابهنجاری غربی - جنوب غربی شار رطوبت دریای سرخ به نواحی جنوب غربی و غربی کشور انتقال می‌یابد.

در ماه دسامبر در دوره خشک (مرطوب) شرق دریای عرب نابهنجاری منفی و در غرب آن نابهنجاری مثبت (نابهنجاری مثبت در دریای عرب) مشاهده می‌شود. در ماه ژانویه در دوره خشک (مرطوب) شرق دریای عرب نابهنجاری منفی و غرب آن نابهنجاری مثبت ضعیفی (نابهنجاری منفی در شمال و نابهنجاری مثبت در جنوب دریای عرب) مشاهده می‌گردد. همچنین در ماه فوریه در دوره مرطوب (خشک) نابهنجاری دما در دریای عرب مثبت (مثبت ضعیف) است. در دریای سرخ به جز دوره مرطوب ماه فوریه (نابهنجاری مثبت) در بقیه ماه‌ها نابهنجاری منفی و در خلیج فارس در دوره مرطوب ماههای دسامبر و فوریه نابهنجاری مثبت و در بقیه ماه‌ها نابهنجاری منفی مشاهده می‌گردد.

نقشه ترکیبی نابهنجاری شار رطوبت

نقشه‌های شار رطوبت نشان دهنده انتقال رطوبت از منابع

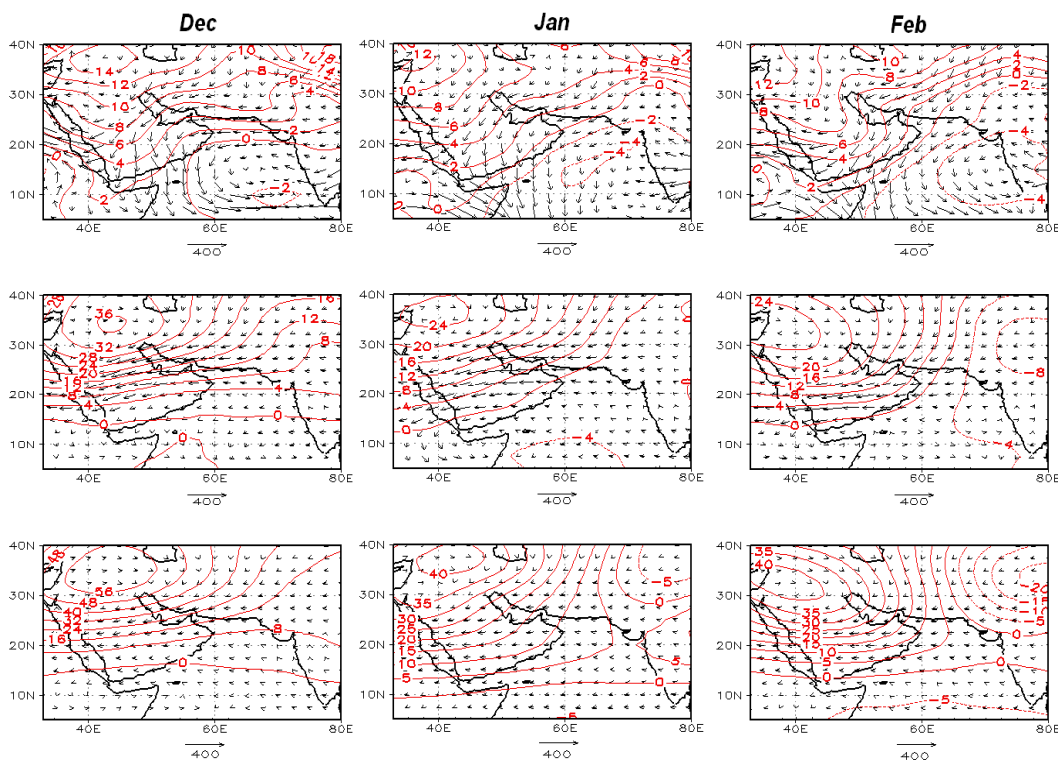


شکل ۵- نقشه ترکیب نابهنجاری شار رطوبتی برای دوره مرطوب مدل اول EOF در ماه دسامبر، ژانویه و فوریه (الف) لایه ۱۰۰۰-۷۰۰ (ب) ۵۰۰-۳۰۰ هکتوپاسکال و نابهنجاری ارتفاع ژئو پتانسیل (الف) تراز ۸۵۰ (ج) تراز ۴۰۰ هکتوپاسکال.

شار رطوبت با پیکان مشخص شده بر حسب $\text{Kg m}^{-1}\text{s}^{-1}$ و ارتفاع ژئو پتانسیل با کنتور بر حسب gpm

غربی-جنوب غربی از دریای سرخ به نواحی جنوب غربی کشور منتقل می شود. بیشترین رطوبت انتقالی در این تراز از دریای سرخ می باشد (شکل ۵-ب). در تراز سطح فوچانی جو نیز نابهنجاری ارتفاع تراز ۴۰۰ هکتو پاسکال نشان می دهد که ناوه شرق مدیترانه عمیق تر شده و نابهنجاری ضعیف شار رطوبتی در جلوی ناوه با جهت غربی-جنوب غربی به شرق- شمال شرقی منتقل می گردد (شکل ۵-ج). شکل ۶ نقشه نابهنجاری شار رطوبت دوره خشک مد اول EOF برای ماههای دسامبر، ژانویه و فوریه نشان می دهد.

بیشترین شار رطوبتی انتقالی در این تراز از دریای عرب می باشد. نابهنجاری ارتفاع تراز ۸۵۰ هکتو پاسکال نیز نشان می دهد که کم ارتفاع در شرق مدیترانه و شمال دریای سرخ و پر ارتفاع در روی دریای عرب در ماههای دسامبر- فوریه و در ماه ژانویه نابهنجاری بسیار ضعیف منفی ارتفاع در دریای عرب مشاهده می گردد (شکل ۶-الف). در تراز میانی جو (۷۰۰-۵۰۰) نابهنجاری ارتفاع تراز ۶۰۰ هکتو پاسکال نشان می دهد که ناوه شرق مدیترانه و شمال دریای سرخ تقویت شده و جریان شار رطوبتی جلوی ناوه با جهت



شکل ۶- نقشه ترکیب نابهنجاری شار رطوبتی برای دوره خشک مد اول EOF در ماه دسامبر، ژانویه و فوریه (الف) لایه ۱۰۰۰-۷۰۰ (ب) ۷۰۰-۵۰۰ (ج) ۵۰۰-۳۰۰ هکتو پاسکال و نابهنجاری ارتفاع ژئو پتانسیل الف (تراز ۸۵۰ ب) تراز ۶۰۰ (ج) تراز ۴۰۰ هکتو پاسکال.

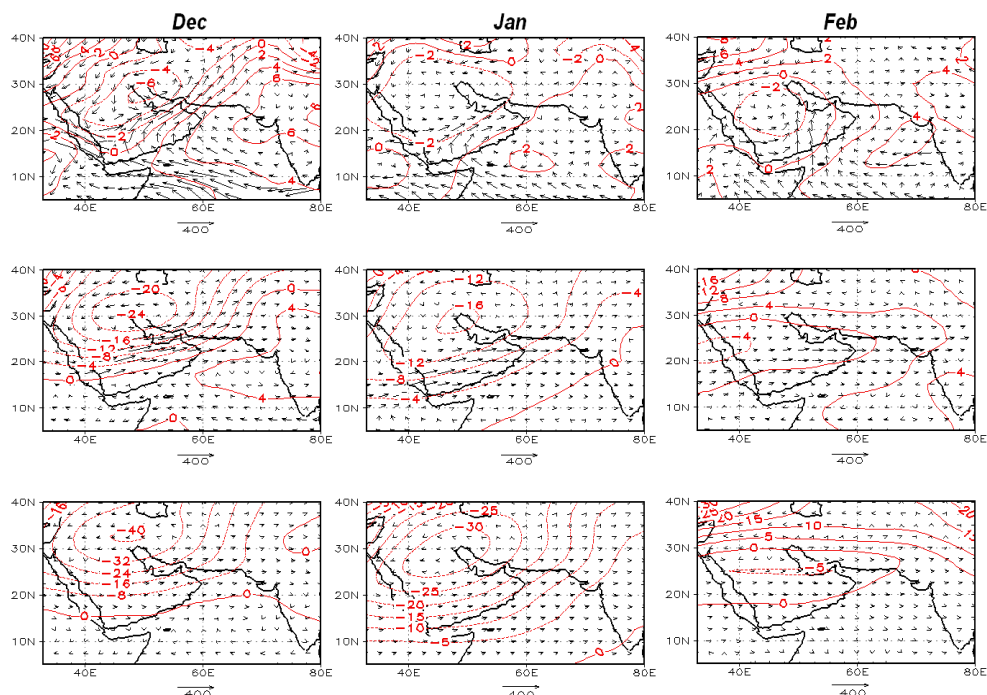
شار رطوبت با پیکان مشخص شده بر حسب $\text{Kg m}^{-1}\text{s}^{-1}$ و ارتفاع ژئو پتانسیل با کنتور بر حسب gpm

پر ارتفاع مستقر در روی عراق و سوریه تقویت گردیده و نابهنجاری شرقی و شمال شرقی شار رطوبت از جنوب ایران خارج می گردد شکل (۶-ب و ج). شکل ۷، نقشه نابهنجاری شار رطوبت دوره مرطوب مد دوم EOF برای ماههای دسامبر تا فوریه همراه با نابهنجاری ارتفاع تراز ۸۵۰، ۶۰۰ و ۴۰۰ هکتو پاسکال را نشان می دهد.

در تراز پایین ماههای دسامبر تا فوریه نابهنجاری شرقی و شمال شرقی شار رطوبت با چرخشی چرخدنده از جنوب ایران خارج می گردد. نابهنجاری ارتفاع تراز ۸۵۰ هکتو پاسکال نیز نشان می دهد که پر ارتفاع در روی عراق، سوریه و شمال دریای سرخ و کم ارتفاع در روی دریای عرب مستقر هستند شکل (۶-الف). در تراز میانی و فوچانی جو

فوکانی جو کم ارتفاع مستقر در غرب ایران و خلیج فارس در ماههای دسامبر و ژانویه تقویت گردیده و جریانات جنوب غربی به شمال شرقی جلوه ناوه رطوبت دریای سرخ را به نواحی جنوبی-جنوب شرقی کشور منتقل می‌کند. در ماه فوریه با تقویت کم ارتفاع شمال دریای سرخ و شبه جزیره عربستان نابهنجاری شار رطوبت با جهت غربی-جنوب غربی به شرق - شمال شرقی به نواحی جنوبی و جنوب شرقی کشور انتقال می‌یابد.

همانطور که مشاهده می‌شود در تراز پایین نابهنجاری جنوب شرقی-جنوبی شار رطوبتی از دریای عرب، خلیج عدن به نواحی شرقی شبه جزیره عربستان انتقال یافته و با ادغام با نابهنجاری غربی و جنوب غربی شار رطوبت دریای سرخ به جنوب ایران منتقل می‌گردد. نابهنجاری ارتفاع تراز ۸۵۰ هکتو پاسکال نشان می‌دهد که کم ارتفاع در روی خلیج فارس (دسامبر و ژانویه)، شبه جزیره عربستان و شمال دریای سرخ (فوریه) و پر ارتفاع در روی دریای عرب مستقر هستند شکل (۷-الف). در سطوح میانی و



شکل ۷: نقشه ترکیب نابهنجاری شار رطوبتی برای دوره مرطب مد دوم EOF در ماه دسامبر، ژانویه و فوریه (الف) لایه ۱۰۰۰-۷۰۰ (ب) ۵۰۰-۳۰۰ (ج) ۵۰۰-۳۰۰ هکتو پاسکال و نابهنجاری ارتفاع ژئو پتانسیل (الف) (تراز ۴۰۰ ج) (ب) تراز ۶۰۰ (ج) تراز ۴۰۰ هکتو پاسکال.

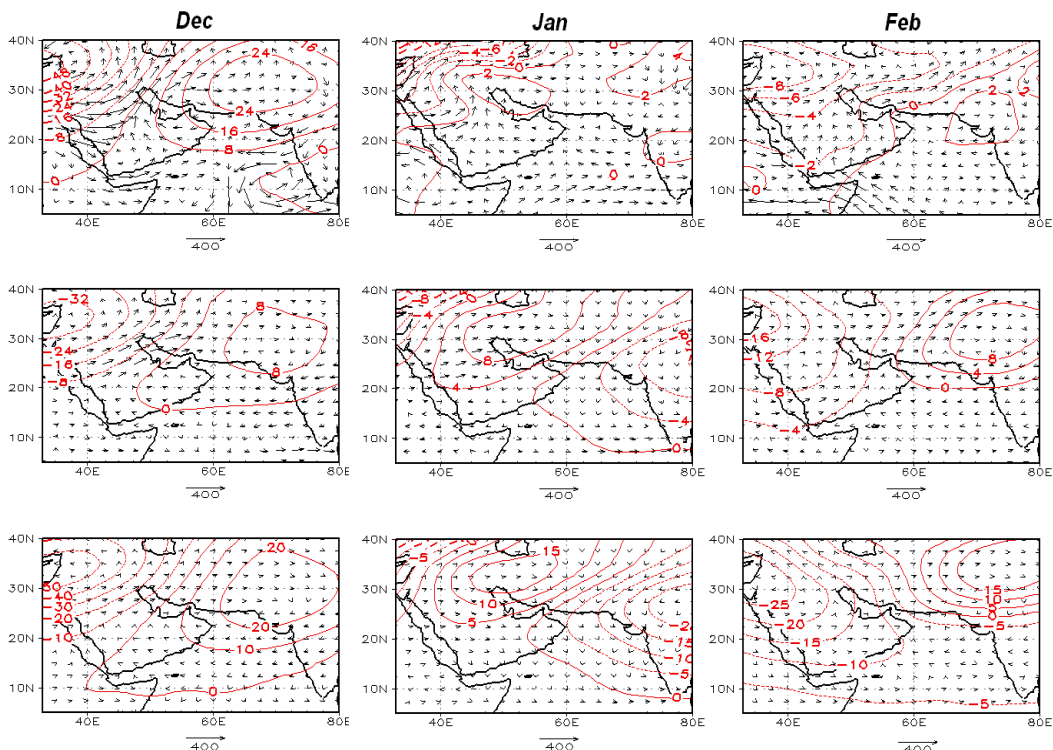
شار رطوبت با پیکان مشخص شده بر حسب $\text{Kg m}^{-1}\text{s}^{-1}$ و ارتفاع ژئو پتانسیل با کنتور بر حسب gpm

(ژانویه) مستقر می‌باشدند. در ماه فوریه نیز نابهنجاری جنوب شرقی شار رطوبت با چرخشی چرخندی رطوبت را از دریای عرب، خلیج عدن به شرق شبه جزیره عربستان منتقل می‌نماید و با ادغام با نابهنجاری جنوب-جنوب غربی شار رطوبت دریای سرخ به نواحی جنوب غربی کشور انتقال می‌یابد. در تراز میانی ماههای دسامبر و فوریه نابهنجاری شرقی شار رطوبت با چرخشی چرخندی به نواحی شرقی شبه جزیره عربستان وارد و با ادغام با نابهنجاری جنوب

در شکل ۸، در دوره خشک مد دوم EOF در سطوح پایین نابهنجاری شرقی-جنوب شرقی شار رطوبت در ماههای دسامبر و ژانویه از نواحی شمالی دریای عرب رطوبت را به شمال شبه جزیره عربستان منتقل و با ادغام با نابهنجاری غربی شار رطوبت شمال دریای سرخ به نواحی غربی-شمال غربی کشور انتقال می‌یابد. در ماههای مذکور کم ارتفاع در شرق مدیترانه، شمال دریای سرخ و پر ارتفاع به ترتیب در جنوب شرقی (دسامبر) و جنوب غربی ایران

ضعیف می باشد به طوری که در ماه دسامبر نابهنجاری شرقی شار رطوبت با چرخشی چرخندی وارد شرق عربستان گردیده و با ادغام با نابهنجاری جنوب غربی شار رطوبت دریای سرخ به نواحی غربی-جنوب غربی کشور متقل می گردد. در ماههای ژانویه و فوریه کم ارتفاع شرق مدیترانه و شمال دریای سرخ تقویت گردیده و نابهنجاری شار رطوبت در جلوی ناوه با جهت جنوب غربی-شمال شرقی به مناطق شمال غرب-غرب (ژانویه) و جنوب-جنوب شرق (فوریه) وارد می گردد.

غربی شار رطوبت دریای سرخ به نواحی غرب-جنوب غربی کشور متقل می شود. نابهنجاری ارتفاع تراز ۶۰۰ هکتوپاسکال نشان می دهد که کم ارتفاع در شرق مدیترانه و شمال دریای سرخ و پر ارتفاع در جنوب شرقی ایران تقویت گردیده است. در ماه ژانویه نابهنجاری ارتفاع نشان می دهد که کم ارتفاع در شرق مدیترانه و شمال دریای سرخ تقویت گردیده و نابهنجاری شار رطوبت در جلوی ناوه با جهت جنوب غربی-شمال شرقی وارد نواحی شمال غرب و غرب کشور می گردد. در تراز فوکانی جو انتقال رطوبت



شکل ۸- نقشه ترکیب نابهنجاری شار رطوبتی برای دوره خشک مددوم EOF در ماه دسامبر، ژانویه و فوریه الف) لایه ۱۰۰۰-۷۰۰ (ب) ۵۰۰-۳۰۰ هکتوپاسکال (واحد: $\text{Kg m}^{-1}\text{s}^{-1}$) و نابهنجاری ارتفاع ژئو پتانسیل (الف) تراز ۸۵۰ (ج) تراز ۴۰۰ هکتو پاسکال (واحد: gpm)

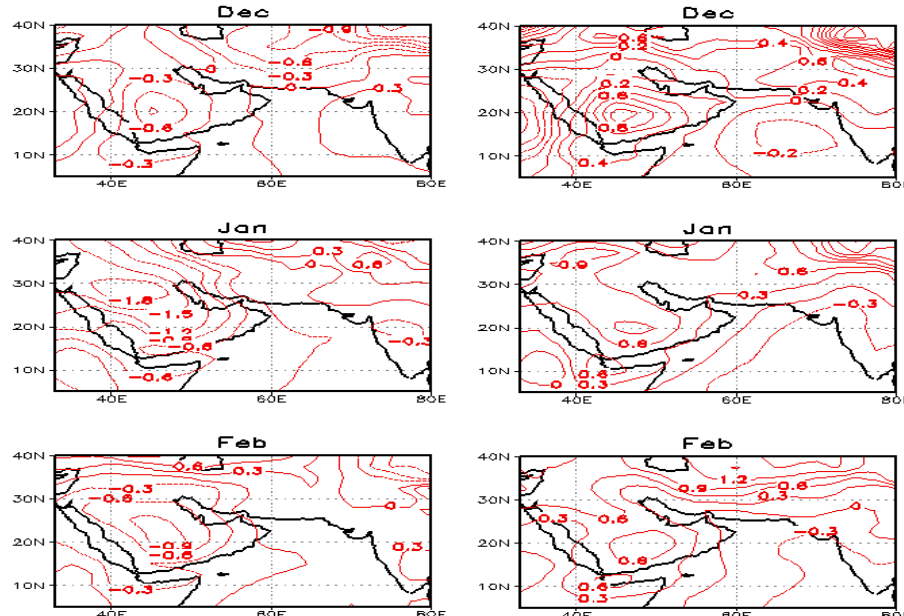
عربستان و نابهنجاری مثبت (به جز ماه ژانویه) در دریای عرب و هند مشاهده می گردد. در دوره خشک نابهنجاری مثبت (منفی) فشار سطح دریا در روی شبه جزیره عربستان و جنوب غربی ایران (دریای عرب) مشاهده می گردد. شکل ۱۰ نقشه ترکیبی نابهنجاری فشار سطح دریا برای دوره های مرطوب (چپ) و دوره خشک (راست) مددوم EOF را نشان می دهد. در دوره مرطوب ماههای دسامبر تا EOF

نقشه ترکیبی نابهنجاری فشار سطح دریا

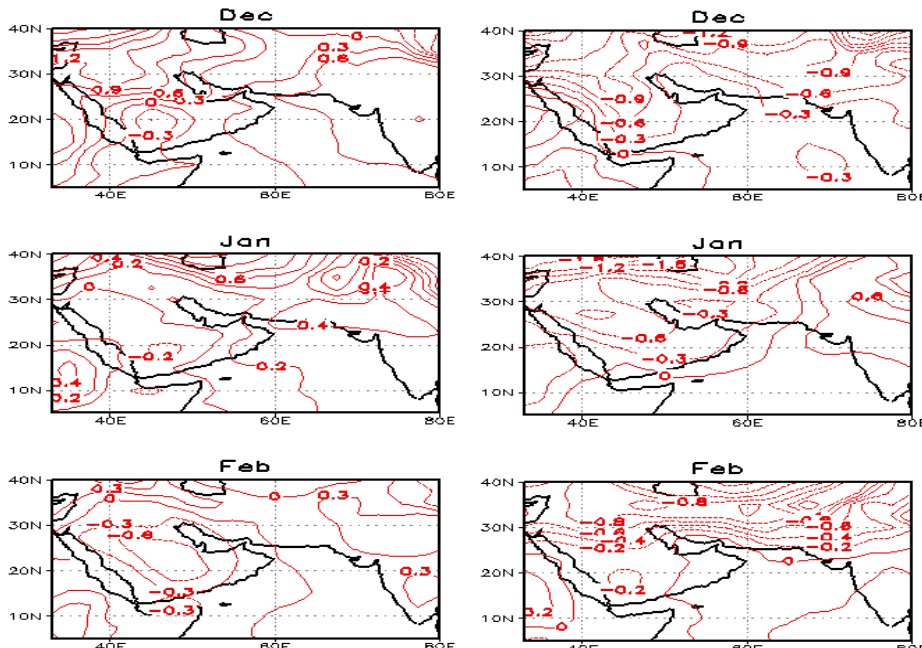
شکل ۹ نقشه ترکیبی نابهنجاری فشار سطح دریا برای دوره های مرطوب (چپ) و خشک (راست) مؤلفه اول EOF نشان می دهد. همانطور که مشاهده می گردد الگوی نابهنجاری فشار سطح دریا برای دوره های مرطوب و خشک عکس یکدیگر می باشند. در دوره مرطوب ماههای دسامبر تا فوریه نابهنجاری منفی فشار سطح دریا در روی شبه جزیره

دریا به سمت شمال عربستان، سوریه عراق و ایران جابه جا شده است.

فرریه نابهنجاری منفی فشار سطح دریا در روی شبه جزیره عربستان و نابهنجاری مثبت در روی دریای عرب مشاهده می‌شود. در دوره خشکسالی نابهنجاری منفی فشار سطح



شکل ۹- نقشه ترکیب نابهنجاری فشار سطح دریا (واحد: mb) برای دوره خشک (راست) و مرطوب (چپ) مد اول EOF



شکل ۱۰- نقشه ترکیب نابهنجاری فشار سطح دریا (واحد: mb) برای دوره خشک (راست) و مرطوب (چپ) مد دوم EOF

عربستان استقرار دارد بارش مناسب را برای این مناطق فراهم می سازد. در دوره خشک پر فشاری که در روی عراق و عربستان قرار دارد و زیانه آن روی ایران نیز کشیده شده است به همراه کم فشار مستقر بر روی دریای عرب به خروج رطوبت از نواحی جنوبی ایران کمک می کند. به عبارتی گسترش پر فشار شرق مدیترانه و دریای سرخ و ارتباط آن با پر فشار جنب حاره عربستان، شمال آفریقا (چه در سطح و چه در ترازهای فوقانی) مقدمه آغاز دوره خشک در کشور است. مؤلفه دوم EOF نیز نشان داد که پر فشار عربستان نقش مهمی در کنترل توزیع مکانی بارش در جنوب ایران دارد به طوری که جا به جایی شرق سوی (غرب سوی) پر فشار عربستان در دوره مرطوب (خشک)، سبب انتقال رطوبت از دریای عرب و دریای سرخ به نواحی جنوبی و شرقی (غربی) ایران می شود. پر فشار شرق عربستان در حاشیه شرقی جریانات شمال شرقی بر روی دریاهای عمان و عرب ایجاد نموده و هوای خشک و سردتر عرض های بالاتر را بر روی دریاهای مذکور منتقل می کند. این جریانات در حاشیه جنوبی شبه جزیره عربستان به سمت داخل شبه جزیره تغییر مسیر داده و قسمتی از آن در خلیج عدن به سمت دریای سرخ جریان می یابد با ادغام با شار رطوبتی انتقالی از دریای سرخ در جلوی ناوه مستقر بر شرق مدیترانه که تا مرکز دریای سرخ گسترش یافته، به سمت ایران حرکت می کند. جریان مذکور حاوی رطوبت دریاهای عمان، عرب و سرخ می باشد. در چنین حالتی ریزش بارش در نواحی غربی کشور شروع شده و با حرکت شرقی سوی ناوه و پر فشار شرق عربستان بارش به سمت دیگر نواحی ایران گسترش می یابد. دریای عرب بدليل وسعت خود دارای انرژی بالایی است و به دلیل قرار گیری در عرضهای پایین در دوره سرد سال اختلاف دمای بیشتری با دمای هوای روی خود دارد که این امر در ایجاد رطوبت در منطقه و انتقال آن به جو نتش مهمنی دارد. بنابر این می توان نتیجه گرفت رخدادهای مرطوب و خشک و همچنین سیل در ایران به چگونگی الگوی گردش جو در منطقه و در نتیجه به میزان انتقال رطوبت از دریاهای جنوبی به ویژه دریای عرب مرتبط دانست. این نتایج ضمن تایید نظرات گذشته در خصوص سامانه های بارش زا نقش جریانات به

نتیجه گیری و جمع بندی

هدف از این تحقیق بررسی تأثیر منابع آبی مجاور روی بارش فصل زمستان در نیمه جنوبی کشور در دوره های مرطوب و خشک می باشد. در این پژوهش از داده های بارش مربوط به ۱۸۳ ایستگاه همدید، اقلیمی و باران سنجی کشور استفاده گردید. از آنجایی که اکثر بارش ها در نیمه جنوبی کشور در فصل زمستان رخ می دهد به مطالعه تغییرات بارش در فصل زمستان پرداخته شد. بررسی تغییرات زمانی-مکانی بارش در نیمه جنوبی کشور با استفاده از تابع متعامد تجربی EOF بر روی داده های بارش، پنج مؤلفه اصلی بارش را نشان داد. با توجه به اینکه مؤلفه های اول و دوم ماه های دسامبر تا فوریه مجموعاً بیش از ۶۶ درصد واریانس بارش ماهانه را تبیین کردند لذا دو مؤلفه اصلی برگزیده شدند. نتایج این تحقیق نشان می دهد که در الگوی نابهنجاری دمای سطح آب دریاها در دوره های مرطوب و خشک مؤلفه اول EOF که بیش از ۵۰ درصد واریانس بارش را در نیمه جنوب ایران بیان می کند عکس هم می باشد به طوری که در دوره مرطوب نابهنجاری مثبت و در دوره خشک نابهنجاری منفی در دریای عرب مشاهده می گردد و این بیانگر این مطلب است که افزایش دمای سطح آب دریای عرب سبب افزایش بارش در بخش های غربی و جنوب غربی منطقه مورد مطالعه می شود. برای مؤلفه دوم EOF در دوره مرطوب نابهنجاری مثبت دمای در دریای عرب در ماه های دسامبر- فوریه مشاهده می شود و در دوره خشک نابهنجاری مثبت ضعیف می گردد. بررسی نابهنجاری شار رطوبت برای دوره های مرطوب و خشک نشان داد که الگوهای جریانات جوی حاکم در منطقه نقش مهمی در انتقال رطوبت از منابع رطوبتی به نواحی غربی، جنوب غربی، جنوبی، مرکزی و جنوب شرقی ایران دارد. مؤلفه اول EOF تغییرات بارش مناطق غرب، جنوب غرب و جنوب ایران را تبیین می نماید که دریای عرب و دریای سرخ بیشترین تأمین کننده رطوبت برای این مناطق هستند. وجود ناوه تقریباً ژرف در شرق مدیترانه به سبب ادغام کم فشار سودانی و کم فشار مدیترانه در جنوب غربی دریای سرخ (روی سودان و مصر) و عمیق شدن ناوه در روی دریای سرخ و همچنین الگوی پر فشار عربستان که در شرق

11. Kousari, M.R., M.A. Asadi Zarch, 2011, Minimum, Maximum and Mean annual temperature; relative humidity and precipitation trends in arid and semi-arid regions of Iran. Arabian Journal of Geosciences, No. 4, pp. 907-917.
12. Latif M., D. Dommenget, M. Dima and A. Grotzner, 1999, The Role of Indian Ocean sea surface temperature in forcing east African rainfall anomalies during December-January 1997/98. Journal of Climate, No. 12, pp. 3497-3509.
13. Mofidi A., A. Zarrin, 2005, Synoptic analysis of influence of Sudan Low on heavy rainfall over Iran. Journal of Geography Research, No. 77, pp. 113-136.
14. Najarsalige, M., 2006, Mechanism of precipitation in South East of Iran. Journal of Geography Research, No. 55, pp. 1-13.
15. Nazemosadat, M. H., A. Ghasemi, 2004, Relation of ENSO with cold season rainfall over central and southwest of Iran. Journal of Agricultural Science and Technology and Natural Resource, No. 3, pp. 1-13.
16. Nazemosadat, M. H., A. Shiravani, 2004, Effect of Caspian Sea SST fluctuation on winter and spring precipitation over northern and southwest of Iran. Journal of Agricultural Science and Technology and Natural Resource, No. 4, pp. 1-15.
17. Nazemosadat, M. H., A. Shiravani, 2004, Evaluation the ability of SOI, Nino's SST to predict winter precipitation in the Caspian Sea coast by CCA. Journal of Agricultural Science and Technology and Natural Resourc, No. 1, pp. 11-26.
18. Nazemosadat, M. H., A. Shiravani, 2006, Prediction of winter precipitation in southern Iran using SST of Persian Gulf. Journal of Agriculture, No. 29, pp. 65-77.
19. Pritchard, M. S., R. C. J. Somerville, 2009, Empirical orthogonal function analysis of the diurnal cycle of precipitation in a multi-scale climate model. Geophysical Research Letter.36:Lo5812; 1-5. Doi: 10.1029/2008 GL036964.
20. Raziei T., A. Mofidi, J.A. Satos, I. Bordi, 2011, Spatial pattern and regimes of daily precipitation in Iran relation to large-scale atmospheric circulation. International Journal of Climatology, 32, 1126-1237. doi:10.1002/joc.2347.
21. Rayner NA et al., 2003, Global analyses of sea surface temperature, sea ice, and night marine air temperature since the late nineteenth century. Journal of Geophysical Research, 108, doi: 10.1029/2002JD002670

ویژه جریان‌های ایجاد شده به وسیله پر فشار غرب دریای عرب و شرق شبه جزیره عربستان در انتقال رطوبت از دریاهای مجاور از طریق شبه جزیره عربستان بر روی ایران مشخص تر کرده است (مفیدی و زرین، ۱۳۸۴، فرجزاده، ۲۰۰۷، قاسمی و خلیلی، ۲۰۰۸، کریمی، ۱۳۸۶ و رضیی، ۲۰۰۷). (۲۰۱۱)

منابع

1. Babaeian, I., 2011, Assessment of the regional water bodies temperature effects on seasonal precipitation of Iran. PhD Thesis, Department of Physical Geography, University of Tabriz.
2. Bigg G. R., T. D. Jickells, P. S. Liss and T. J .Osborn, 2003, The role of the oceans in climate. International Journal of Climatology, No. 23, pp. 1127-1159.
3. Brjornsson H., S.A. Venegas, 1997, a manual for EOF and SVD analysis of climate data. MacGill University, CCGCR Report No.97-1, Montreal, Quebec, Canada, 52pp.
4. Chakraborty, A., M. Mujumdar, S. K. Behera, R. Ohba, and T. Yamagata., 2006, a cyclone over Saudi Arabia on 5 January 2002: A case study. Meteorology and Atmospher Physics, No. 93, pp. 115-122.
5. Farajzadeh, M., M. Karimi, H. Ghaemi and M. R. Mobasher, 2007, studying the moisture flux over west of Iran: Acase study of January 1 to 7, 1996 ran storm. Journal of Applied Science, No 7, pp. 3023-3030.
6. Ghaemi, H., 1994, Global Climate, Vol.1, Samt Publications, pp. 272.
7. Ghasemi A.R., D. Khalili, 2008, the association between regional and global atmospheric patterns and winter precipitation in Iran. Atmospheric Research, No. 88, pp.116-133
8. Kalnay et al, 1996., The NCEP/NCAR-40 year reanalysis project. Bulletin of the American Meteorological Society, No. 77, pp. 437-471.
9. Karami Khaniki, E., S. Javansamadi and M. Torabi Azad, 2010, Temporal and spatial analysis of sea surface temperature of Caspian Sea using Empirical Orthogonal Function. Journal of Physical Geography, No. 6, pp. 81-90.
10. Karimi, A., 2006, Analysis of Iran rainfall moisture resource, PhD Thesis, Department of Physical Geography, University of Tarbiat Modares.

24. Tschuck P., F. Chaurn, B. Dong and K. Arpe, 2004, Impact of Sea Surface temperature anomalies in the equatorial Indian Ocean and western Pacific on the Asian summer monsoon in three general circulation models. International Journal of Climatology, No. 24, pp. 181-191.
25. Tsing Chang, C., 1985, Global water vapor flux and maintenance during FGGE. Monthly Weather Review, No. 113, pp. 1801-1819.
22. Rocha A., I. Simmonds 1997, International variability of south- eastern African summer rainfall Part II modeling the impact of Sea surface temperature on rainfall and circulation. International Journal of Climatology, No. 17, pp. 267-290.
23. Rodriguez_Duebla, C., A. H. Encinas, S. Nieto, and J. Garamendia, 1998, Spatial and temporal pattern of annual precipitation variability over the Iberian Peninsula. International Journal of climatology, No. 18, pp. 299-316.